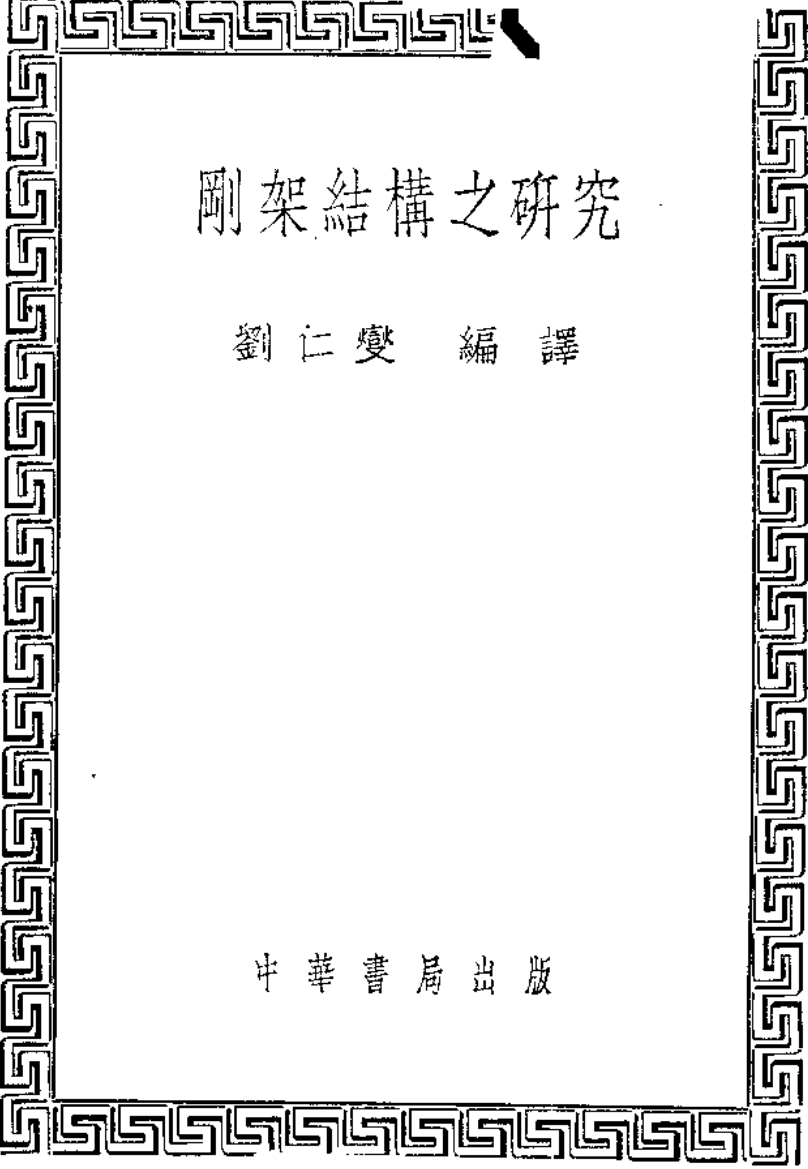


剛架結構之研究





剛架結構之研究

劉仁燮 編譯

中華書局出版

一九五一年十二月初版

大學用書

剛架結構之研究（全二冊）

◎定價人民幣二萬元

編譯者 劉仁

贊

出版者 中華書局股份有限公司
地址 上海河南中路二二一號

印刷者 中華書局 上海印刷廠
地址 上海漢門路四七七號

三聯中華·商務·開明·聯營聯合組合

各地分店
聯商開中三
務明華聯印書書
書店館局店司號
總目編號(15563) 印數1—4,000

剛架結構之研究

目 錄

第一章 機械的作表法理論

	頁
前言.....	1
1. 基本公式之誘導.....	5
2. 載重項之準備計算.....	9
3. 未知量之選定.....	16
4. 剛構解法之假定與聯立方程式.....	17
5. 剛節點記號及部材記號之規定與標準記號.....	20
6. 機械的表示標準形及其對稱性.....	23
7. 固定腳與鉸腳標準形之差異.....	26
8. 聯立方程式之解法(消去法).....	28
9. 反復試索法.....	32
10. 直接決定未知量之假定值解法.....	37

第二章 機械的作表法及應用

1. 關於對稱性剛構之注意.....	41
2. 關於非對稱性剛構之注意.....	43
3. 關於半對稱性剛構之注意.....	44
4. 應用例解.....	50
(1) 對稱性剛構例解.....	50

(2) 非對稱性剛構例解.....	64
(3) 半對稱性剛構例解.....	75
(4) 雜例解.....	84

第三章 受任意水平載重之剛構

1. 基本公式及記號.....	105
2. 任意水平載重之例解.....	110

第四章 高架式剛構之理論與應用

1. 剛節點平衡方程式.....	116
2. 剛構全體平衡方程式.....	119
3. 平衡方程式之誘導.....	121
4. 高架式剛構之一般解法.....	131
5. 機械的作表法及應用.....	139
插頁 表 52.....	108 頁之後

(天)

剛架結構之研究

第一章 機械的作表法理論

緒論

構造材料之發達與構造樣式之進步，致使現代構造工學之理論及施工發生大變化，就中以鋼筋混凝土構造物，當其受載重時，引起不靜定應力，呈極複雜之現象，研究此種應力，在先前時代，雖明知為不靜定構造，仍以近似計算法，作為靜定構造計算之，又在理論嚴正，足以闡明其問題之時，亦或以理論高遠，數學程度不够，不能計算，或以計算費時，欲求迅速，因之亦以近似計算為滿足，此雖可以減少計算之時間，但對於構造材料之節約，毫無益處，故對於不靜定構造物，倘能求得一方法，以嚴正之理論，及程度較低之數學，解決此問題，實為技術者所急需。

本書以機械的作表法，使從來認為畏難之不靜定構造，化為極易，且能有規則的計算出來，其法以撓角撓度法 (Slope deflection method) 為基礎誘導而得，計算簡單，記憶容易。

1. 基本公式之誘導

設桁之材料彈性率為 E ，斷面慣性率為 I ，則桁之任意點轉曲率 M 與其曲率半徑 ρ 之間，有如下之關係：

$$-\frac{1}{\rho} = -\frac{M}{EI}. \quad (1)$$

次取桁之極短長度 dx 考察之，因彎曲之結果，在中立軸上 m, m' 二點之切線所成之小角度命為 $d\varphi$ ，此角度與曲率半徑在中心所夾之

角相等，故

$$dx = \rho d\varphi. \quad (2)$$

將式(1)中 ρ 之值代入式(2)，則

$$d\varphi = \frac{M}{EI} dx. \quad (3)$$

析之各點彎曲率，豫先作圖如圖 1，則 Mdx 表示圖 1(a)中影線

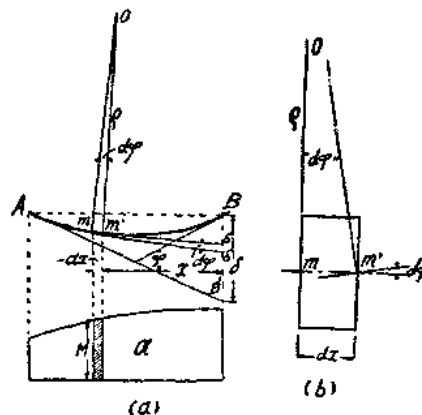


圖 1

部之小面積，故求 A, B 二點之切線所成之角度 φ ，祇須將式(3)從 A 至 B 積分之即得，故

$$\varphi = \int_A^B \frac{M}{EI} dx. \quad (4)$$

若 E, I 通全桁面積不變，則

$$\varphi = \frac{1}{EI} \int_A^B M dx. \quad (5)$$

今以 \mathfrak{A} 表示自 A 點至 B 點之彎曲率面積，即

$$\mathfrak{A} = \int_A^B M dx, \quad (6)$$

則

$$\varphi = \frac{\mathfrak{A}}{EI}. \quad (7)$$

m 及 m' 點之切線與通過 B 點之垂線相交點命爲 b 及 b' , 則

$$bb' = xd\varphi. \quad (8)$$

A 點之切線與通過 B 點垂線相交之點命爲 B' , 則

$$BB' = \int_A^B xd\varphi = \int_A^B \frac{Mx}{EI} dx. \quad (9)$$

然 Mdx 表示圖 1(a) 之影線面積素，故 $x \cdot Mdx$ 乃係此面積素對於 B 點之靜力率。

若 AB 間彎曲率圖面積之重心至 B 點之距離命爲 λ , 則

$$\int_A^B xMdx = \lambda \mathfrak{A}.$$

命 $BB' = \delta$, 則對於一定值之 E, I , 為

$$\delta = \frac{1}{EI} \int_A^B Mxdx = \frac{\mathfrak{A}}{EI} \lambda. \quad (10)$$

式(7)表示析之任意二點之切線所成角度 φ , 式(10)表示 δ , 此二式爲此解法之基本公式。

設有一材 AB (圖 2), 其兩端受彎曲率與剪力, 從原位置 AB 移動至 $A'B'$, B 點對於 A 點之變位, 或與時針方向相同, 或與時針相反, A 點對於 B 點之變位亦然, 設以 d 表示此變位之大小, 則 d 稱爲撓度, d 與時針同方向, 則符號爲正, 與時針反方向, 則符號爲負。

部材 AB 受彎曲率而引起彎曲, A 點或 B 點之切線與原位置 AB 成 φ_a 或 φ_b 之角變位, 稱之爲撓角, 與時針同方向爲正, 反之爲負。

A 點彎曲率命爲 M_{AB} , B 點彎曲率命爲 M_{BA} , 與時針同方向爲正, 反之爲負。

圖 2 之 $M_{AB}, M_{BA}, \varphi_a, \varphi_b$ 均與時針同方向, 惟 d 乃爲反方向, $B'B'' = \delta$.

從圖, 則 $\delta = l\varphi_a + d$.

但 d 為負, 故可書爲一般式

$$\delta = l\varphi_a - d. \quad (11)$$

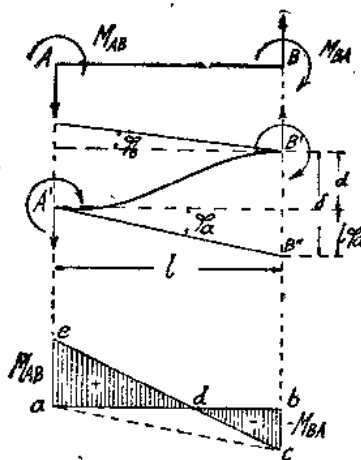


圖 2

式(11)內 d 之符號， B' 對於 A' 之變位，與時針方向相同則為正，相反則為負。換言之，式(11)為適用前述符號規定之公式。

依照式(10)與圖 2，求得

$$\delta = \left\{ M_{AB} \frac{l}{2} \cdot \frac{2l}{3} - M_{BA} \frac{l}{2} \cdot \frac{l}{3} \right\} \frac{1}{EI}.$$

將式(11)之 δ 代入，並命

$$\frac{l}{t} = \xi, \quad \frac{d}{l} = \mu. \quad (12)$$

$$\text{則 } 2M_{AB} - M_{BA} = 6E\xi(\varphi_a - \mu). \quad (13)$$

以上係就 B 點直下之 δ 而求得之式。同理，就 A 點直下之 δ 計算之，則得

$$2M_{BA} - M_{AB} = 6E\xi(\varphi_b - \mu). \quad (14)$$

若 $d = 0$ ，則 $\mu = 0$ ，從前兩式，求得

$$\left. \begin{aligned} \varphi_a &= \frac{1}{6E\xi} (2M_{AB} - M_{BA}), \\ \varphi_b &= \frac{1}{6E\xi} (2M_{BA} - M_{AB}). \end{aligned} \right\} \quad (15)$$

又從式(13)(14),求得

$$\left. \begin{array}{l} M_{AB} = 2E\xi(2\varphi_a + \varphi_b - 3\mu), \\ M_{BA} = 2E\xi(2\varphi_b + \varphi_a - 3\mu). \end{array} \right\} \quad (16)$$

式(15)稱為 Manderla 式,式(16)稱為 Mohr 式.

以上係部材中間無有載重者,倘中間有載重,將此載重所生之彎曲率圖 \mathfrak{A} 加入考慮,則得

$$\left. \begin{array}{l} 2M_{AB} - M_{BA} = 6E\xi(\varphi_a - \mu) - \frac{6\mathfrak{A}\bar{\lambda}}{l^2}, \\ 2M_{BA} - M_{AB} = 6E\xi(\varphi_b - \mu) + \frac{6\mathfrak{A}(l - \bar{\lambda})}{l^2}. \end{array} \right\} \quad (17) \text{ (參閱卷末補註)}$$

上式中, $\bar{\lambda}$ 係新加入面積 \mathfrak{A} 之重心至 B 點直下之距離.

由式(17),求得

$$M_{AB} = 2E\xi(2\varphi_a + \varphi_b + \psi) - \mathfrak{M}_{AB},$$

$$M_{BA} = 2E\xi(2\varphi_b + \varphi_a + \psi) + \mathfrak{M}_{BA}.$$

$$\text{其中 } \mathfrak{M}_{AB} = \frac{2\mathfrak{A}}{l^2}(3\bar{\lambda} - l),$$

$$\mathfrak{M}_{BA} = \frac{2\mathfrak{A}}{l^2}(2l - 3\bar{\lambda}),$$

$$\psi = -3\mu = -3\frac{d}{l}.$$

(18) (參閱卷末補註)

式(18)為此解法之基本公式, φ 係架構剛節點之角變位,與時針方向相同者,規定為正,相反者為負.

吾人之主要目的,在於求 M_{AB} , M_{BA} 等之 M ,故 φ 及 ψ 係直接最初之未知量, M 乃間接最後之未知量.

2. 載重項之準備計算

上節式(18)中之 \mathfrak{M}_{AB} , \mathfrak{M}_{BA} 須豫先計算之,方稱便利.

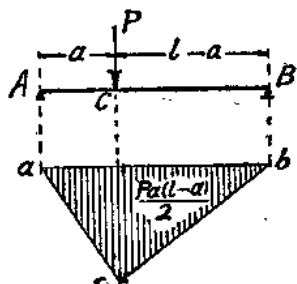


圖 3

如圖3, \mathfrak{M} 表示單軸受中間載重所生彎曲率圖全面積, 則

$$\mathfrak{M} = \frac{Pa(l-a)}{2}.$$

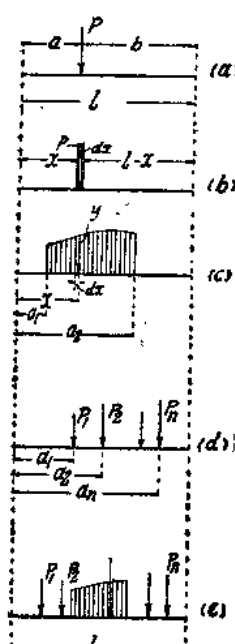
λ 係此面積重心至 B 點直下之距離, 故

$$\bar{\lambda} = \frac{2l-a}{3}.$$

以 \mathfrak{M} 及 $\bar{\lambda}$ 代入式(18), 則得

$$\mathfrak{M}_{AB} = \frac{Pa(l-a)^2}{l^2}, \quad \mathfrak{M}_{BA} = \frac{Pa^2(l-a)}{l^2}. \quad (19)$$

式(19)係對單一垂直載重而言, 至於對其他任意載重, 可以此式為基本, 用積分法求得之,



如圖4(c)任意分布載重, 可以 $P = ydx$ 代入式(19), 則得

$$\left. \begin{aligned} \mathfrak{M}_{AB} &= \frac{1}{l^2} \int_{a_1}^{a_2} yx(l-x)^2 dx, \\ \mathfrak{M}_{BA} &= \frac{1}{l^2} \int_{a_1}^{a_2} yx^2(l-x) dx. \end{aligned} \right\} \quad (20)$$

又如圖4(d)一羣之集中載重, 則得

$$\left. \begin{aligned} \mathfrak{M}_{AB} &= \frac{1}{l^2} \sum_{r=1}^n P_r a_r (l-a_r)^2, \\ \mathfrak{M}_{BA} &= \frac{1}{l^2} \sum_{r=1}^n P_r a_r^2 (l-a_r). \end{aligned} \right\} \quad (21)$$

故如圖4(e)集中載重與分布載重同時作用, 則可以式(20)與式(21)累加得之。載重如係對稱, 則 $\bar{\lambda} = \frac{l}{2}$. 故

$$\mathfrak{M}_{AB} = \mathfrak{M}_{BA} = \frac{\mathfrak{M}}{l}. \quad (22)$$

圖 4

部材中央受單一集中載重 P , 則

$$\mathfrak{M}_{AB} = \mathfrak{M}_{BA} = \frac{Pl}{8}. \quad (23)$$

如圖 5, 則

$$\mathfrak{M}_{AB} = \mathfrak{M}_{BA} = \frac{Pa(l-a)}{l}. \quad (24)$$

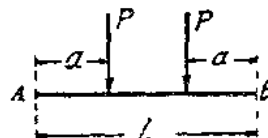


圖 5

如圖 6, 則

$$\mathfrak{M}_{AB} = \mathfrak{M}_{BA} = \frac{1}{l} \int_a^b yx(l-x)dx. \quad (25)$$

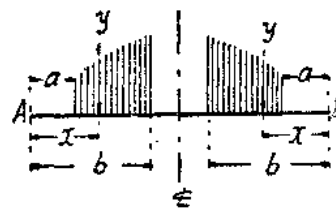


圖 6

如圖 7, 則

$$\mathfrak{M}_{AB} = \mathfrak{M}_{BA} = \frac{1}{l} \sum_{r=1}^n P_r a_r (l-a_r). \quad (26)$$

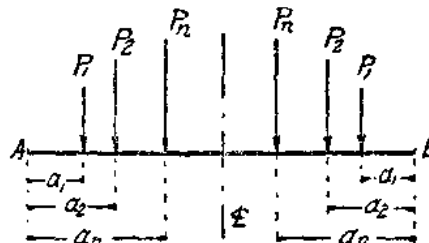
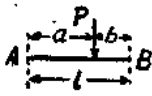


圖 7

下頁之表 1 示明對於種種載重之 \mathfrak{M}_{AB} 及 \mathfrak{M}_{BA} 之值, 其中

$$\left. \begin{aligned} \mathfrak{M}_{AB} + \frac{\mathfrak{M}_{BA}}{2} &= \mathfrak{P}_{AB}, \\ \mathfrak{M}_{BA} + \frac{\mathfrak{M}_{AB}}{2} &= \mathfrak{P}_{BA}, \end{aligned} \right\} \quad (27)$$

表 1.

載重狀況	M_{AB}	M_{AB}
	$\frac{Pab^2}{l^2}$	$\frac{Pa^2b}{l^2}$
	$\frac{pc}{12l^2} \left\{ 12ab(b+c) + 6b^2c + 4c^2(a+b) + c^3 \right\}$	$\frac{pc}{12l^2} \left\{ 12ab(a+c) + 6a^2c + 4c^2(a+b) + c^3 \right\}$
	$a=0, \frac{pc^3}{12l^2} \left\{ 6b^2 + 4bc + c^2 \right\}$	$\frac{pc^3}{12l^2} \left\{ 4b + c \right\}$
	$b=0, \frac{pc^3}{12l^2} \left\{ 4a + c \right\}$	$\frac{pc^2}{12l^2} \left\{ 6a^2 + 4ac + c^2 \right\}$
	$a=b=0, \frac{pl^2}{12}$	$\frac{pl^2}{12}$
	$\frac{pc}{60l^2} \left\{ 20bc(a+b) + 5c^2(a+2b) + 30ab^2 + 2c^3 \right\}$	$\frac{pc}{60l^2} \left\{ 10ac(a+c) + 15b(2a^2 + c^2) + 40abc + 3c^3 \right\}$
	$a=0, \frac{pc^3}{30l^2} \left\{ 10b^2 + 5bc + c^2 \right\}$	$\frac{pc^3}{20l^2} \left\{ 5b + c \right\}$
	$b=0, \frac{pc^3}{60l^2} \left\{ 5a + 2c \right\}$	$\frac{pc^2}{60l^2} \left\{ 10a(a+c) + 3c^2 \right\}$
	$a=b=0, \frac{pl^3}{30}$	$\frac{pl^2}{20}$
	$\frac{1}{l^2} \int_a^b yx(l-x)^2 dx$	$\frac{1}{l^2} \int_a^b yx^2(l-x) dx$
	$a=0, \frac{1}{l^2} \int_0^l yx(l-x)^2 dx$	$\frac{1}{l^2} \int_0^l yx^2(l-x) dx$

Ψ_{AB}	Ψ_{BA}
$\frac{Pab}{2l^2} \{a+2b\}$	$\frac{Pab}{2l^2} \{2a+b\}$
$\frac{Pc}{8l^2} \left\{ \frac{1}{4}ab(a+2b+3c) + 2c(a^2+2b^2) + 4c^2(a+b) + c^3 \right\}$	$\frac{Pc}{8l^2} \left\{ \frac{1}{4}ab(2a+b+3c) + 2c(2a^2+b^2) + 4c^2(a+b) + c^3 \right\}$
$a=0, \frac{Pc^2}{8l^2} \{4c^2+4bc+c^2\}$	$\frac{Pc^2}{8l^2} \{2c^2+4bc+c^2\}$
$b=0, \frac{Pc^2}{8l^2} \{2c^2+4ac+c^2\}$	$\frac{Pc^2}{8l^2} \{4c^2+4ac+c^2\}$
$a=b=0, \frac{Pbl^2}{8}$	$\frac{Pbl^2}{8}$
$\frac{Pc}{120l^2} \left\{ 10ab(3a+6b+8c) + 10c(a^2+b^2) + 5c^2(4a+7b) + 7c^3 \right\}$	$\frac{Pc}{120l^2} \left\{ 10ab(6a+3b+10c) + 20c(a^2+b^2) + 5c^2(5a+8b) + 8c^3 \right\}$
$a=0, \frac{Pc^2}{120l^2} \{40b^2+85bc+7c^2\}$	$\frac{Pc^2}{30l^2} \{5c^2+10bc+2c^2\}$
$b=0, \frac{Pc^2}{120l^2} \{10a^2+20ac+7c^2\}$	$\frac{Pc^2}{120l^2} \{20a^2+25ac+8c^2\}$
$a=b=0, \frac{7Pbl^2}{120}$	$\frac{8Pbl^2}{120}$
$\frac{1}{2l^2} \int_a^b yz(l-x)(2l-x)dx$	$\frac{1}{2l^2} \int_a^c yx(l^2-x^2)dx$
$a=0, \frac{1}{2l^2} \int_0^l yx(l-x)(2l-x)dx$ $b=l$	$\frac{1}{2l^2} \int_c^l yx(l^2-x^2)dx$

表 1. (續)

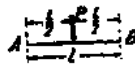
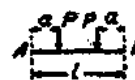
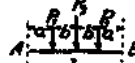
載重狀況	$\sigma_{AB} = \sigma_{BA}$	$\sigma_{AB} = \sigma_{BA}$
	$\frac{Pl}{8}$	$-\frac{3}{16}Pl$
	$\frac{Pa(l-a)}{l}$ $a = \frac{l}{3}, P = \frac{2l}{9}$	$\frac{3Pa(l-a)}{2l}$ $\frac{Pl}{3}$
	$\frac{(a+b)}{l^2} \left\{ 2P_1a(a+2b) + P_2(a+b)^2 \right\}$ $a = b = \frac{l}{4}, P = \frac{5l}{16}$ $P_1 = P_2$	$\frac{3(a+b)}{2l^2} \left\{ 2P_1a(a+2b) + P_2(a+b)^2 \right\}$ $-\frac{15}{32}Pl$
	$\frac{1}{l} \left\{ P_1a(l-a) + P_2b(l-b) \right\}$ 1) $2a = b, P_1 = P_2, \frac{Pa}{l} \{3l - 5a\}$ 2) $a = \frac{b}{2} = \frac{l}{5}, P = \frac{2l}{5}$ $P_1 = P_2$	$-\frac{3}{2l} \left\{ P_1a(l-a) + P_2b(l-b) \right\}$ $-\frac{3Pa}{2l} \{3l - 5a\}$ $\frac{8}{5}Pl$
	$\frac{pc}{6l} \left\{ 6a(l-a) + 3bc + 4c^2 \right\}$ 1) $a = 0, -\frac{pc^2}{6l} \cdot (3b + 4c)$ 2) $b = 0, \frac{pc}{3l} \left\{ 3a(l-a) + 2c^2 \right\}$ 3) $a = b = c = \frac{l}{5}, P = \frac{31l^2}{750}$ 4) $a = b = 0, 2c = l, \frac{pl^2}{12}$	$-\frac{pc}{4l} \left\{ 6a(l-a) + 3bc + 4c^2 \right\}$ $-\frac{pc^2}{4l} \{3b + 4c\}$ $-\frac{pc}{2l} \left\{ 3a(l-a) + 2c^2 \right\}$ $-\frac{31}{500}Pl^2$ $\frac{pl^2}{6}$

表 1. (續)

載重狀況	$\mathfrak{M}_{AB} = \mathfrak{M}_{BA}$	$\mathfrak{P}_{AB} = \mathfrak{P}_{BA}$
	$\frac{wc}{12l} \{ 6ab + 4bc + 2ac + c^2 \}$	$\frac{wc}{8l} \{ 6ab + 1bc + 2ac + c^2 \}$
1) $a=0, -\frac{wc^2}{12l} (4b+c)$	$\frac{wc^2}{8l} \{ 4b+c \}$	
2) $a+c=b,$ $\frac{wc}{12l} \{ 6a^2 + 12ac + 5c^2 \}$	$\frac{wc}{8l} \{ 6a^2 + 12ac + 5c^2 \}$	
3) $\begin{cases} a=0, \\ b-c=\frac{l}{2}, \end{cases}$ $\frac{5l^2}{96} wl^2$		$\frac{5}{64} wl^2$
	$\frac{wc}{12l} \{ 6ab + 4ac + 2bc + c^2 \}$	$\frac{wc}{8l} \{ 6ab + 4ac + 2bc + c^2 \}$
1) $a=0, -\frac{wc^2}{12l} (2b+c)$	$-\frac{wc^2}{8l} (2b+c)$	
2) $a+c=b,$ $\frac{wc}{4l} \{ 2a^2 + 4ac + c^2 \}$	$-\frac{3wc}{8l} \{ 2a^2 + 4ac + c^2 \}$	
3) $\begin{cases} a=0, \\ b-c=\frac{l}{2}, \end{cases}$ $\frac{wl^2}{32}$		$\frac{3}{64} wl^2$
	$\frac{1}{l} \int_a^b yx(l-x)dx$	$-\frac{3}{2l} \int_a^b yx(l-x)dx$
$\begin{cases} a=0, \\ b=\frac{l}{2}, \end{cases}$ $\frac{1}{l} \int_0^{\frac{l}{2}} \frac{1}{2} yx(l-x)dx$		$-\frac{3}{2l} \int_0^{\frac{l}{2}} \frac{1}{2} yx(l-x)dx$

如上所求之 λ , 究係表示何意, 參閱下文, 即可明瞭。今於式(18)中, 以 $\varphi_a = \varphi_b = 0$ 及 $\psi = 0$ 代入, 則得

$$M_{AB} = -\lambda c_{AB}, \quad M_{BA} = \lambda c_{BA}.$$

即 λc_{AB} , λc_{BA} 正為固定桁兩端之負量彎曲率, 而在架構計算中有重要應用者。

3. 未知量之選定

本書所選用 φ 及 ψ 表示不靜定未知量, 其中 φ 表示各剛節點撓角之變化, ψ 所表示者, 見式(18)。



圖 8

圖 8(a)中, 部材 1—2 間任意點受載重, 則接合點 1 發生水平移動 $\delta^{(1)}$, 其他接合點 2, 3, 4 亦發生同值水平移動 $\delta^{(1)}$, 故 $\delta^{(1)}$ 為不靜定未知量之一, 而各接合點之角變位在接合點 1 為 $\varphi_1^{(1)}$, 在接合點 2 為 $\varphi_2^{(1)}$, 在接合點 3 為 $\varphi_3^{(1)}$ 在接合點 4 為 $\varphi_4^{(1)}$ 。

在固定腳架構與地盤連結之點, 不能發生角變位, 故圖 8(b)之未知量, 如上所述, 應為 5 個, 即 4 個角變位與 1 個水平移動。

圖 8(c)中, 部材 2—3 間任意點受載重時, 與前同樣, 未知量為 5 個, 即 $\delta^{(2)}$, $\varphi_1^{(2)}$, $\varphi_2^{(2)}$, $\varphi_3^{(2)}$, $\varphi_4^{(2)}$ 。

圖 8(d)中, 部材 3—4 間任意點受載重時未知量為 5 個, 即 $\delta^{(3)}$, $\varphi_1^{(3)}$, $\varphi_2^{(3)}$, $\varphi_3^{(3)}$, $\varphi_4^{(3)}$ 。

圖 8(e) 水平載重作用於架構之一側, 則未知量為 $\delta^{(4)}$, $\varphi_1^{(4)}$, $\varphi_2^{(4)}$, $\varphi_3^{(4)}$, $\varphi_4^{(4)}$ 。此等未知量, 由於架構之形狀與部材之斷面, 或會發生等值者, 以致未知量之個數, 可能減少, 但計算時, 必如上述計入之。